

## Comunicaciones Digitales

### Capítulo 5

Codificación para protección frente a errores

Marcelino Lázaro

Departamento de Teoría de la Señal y Comunicaciones  
Universidad Carlos III de Madrid



# Índice

- Introducción y definiciones
  - ▶ Recordatorio: teorema de codificación de Shannon
    - ★ Capacidad de canal
- Códigos bloque lineales
- Códigos convolucionales

# Introducción

- Los sistemas de comunicaciones cometen errores

$$P_e = P\{\hat{A}[n] \neq A[n]\}$$

$$BER = P\{\hat{B}_b[\ell] \neq B_b[\ell]\}$$

$$BER \approx \frac{P_e}{m}$$

- Objetivo de un sistema de comunicaciones

- $BER <$  Calidad

- Alternativas para reducción de los errores

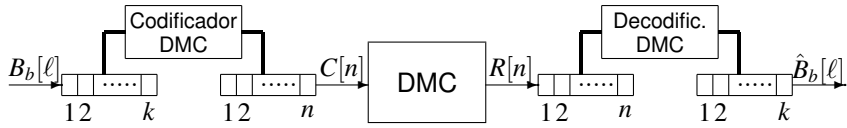
- Aumentar la energía/potencia de la señal
    - Limitaciones: Económicas, físicas, legales, interferencias, ...
  - Teorema de codificación de canales con ruido (Shannon)
    - Introducción de bits de redundancia
    - Tasa de codificación:  $R$

$$R = \frac{\text{número de bits de información}}{\text{número de bits transmitidos (info+redundancia)}}$$

- Capacidad del canal:  $C$  (bits/uso)
  - Posibilidad de reducción de la BER de forma arbitraria

$$R < C$$

# Teorema de codificación de canal



DMC: *Discrete Memoryless Channel*

$$\text{Tasa del código: } R = \frac{k}{n}$$

Teorema de codificación de canal (Shannon 1948):

**Capacidad de canal (DMC):**  $C = \max_{p_X(x_i)} I(X, Y)$

$I(X, Y)$ : información mutua entre la entrada  $X$  y la salida  $Y$  del canal

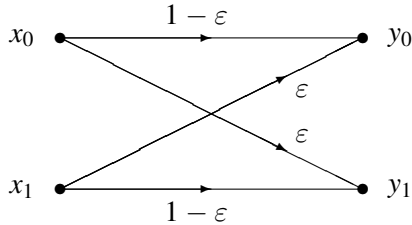
- 1 Si la tasa de transmisión  $R$  es menor que  $C$ , entonces para cualquier  $\delta > 0$  existe un código con una longitud de bloque  $n$  suficientemente larga cuya probabilidad de error es menor que  $\delta$
- 2 Si  $R > C$ , la probabilidad de error de cualquier código con cualquier longitud de bloque está limitada por un valor no nulo
- 3 Existen códigos que permiten alcanzar la capacidad del canal  $R = C$

# Capacidad de canal - Canales digitales

- Modelo de canal discreto sin memoria (DMC)
  - ▶ Entrada y salida: variables aleatorias  $X$  e  $Y$
  - ▶ Probabilidades de transición  $p_{Y|X}(y_j|x_i)$
- Capacidad de canal

$$C = \max_{p_X(x_i)} I(X, Y) \text{ bits/uso}$$

- ▶ Ejemplo: Canal binario simétrico ( $BER = \varepsilon$ )



$$C = 1 - H_b(\varepsilon) = 1 - \Omega(\varepsilon) \text{ bits/uso}$$

## Ejemplo - Canal binario simétrico

- Modelo para canal digital binario con  $BER = \varepsilon$
- Cálculo de la información mutua entrada / salida

$$\begin{aligned} I(X, Y) &= H(Y) - H(Y|X) = H(Y) - \sum_{i=0}^1 p_X(x_i) H(Y|X = x_i) \\ &= H(Y) - \sum_{i=0}^1 p_X(x_i) \left[ -\sum_{j=0}^1 p_{Y|X}(y_j|x_i) \log p_{Y|X}(y_j|x_i) \right] \\ &= H(Y) - \sum_{i=0}^1 p_X(x_i) [-\varepsilon \log(\varepsilon) - (1-\varepsilon) \log(1-\varepsilon)] \\ &= H(Y) - \sum_{i=0}^1 p_X(x_i) H_b(\varepsilon) = H(Y) - H_b(\varepsilon) \end{aligned}$$

- Cálculo de la capacidad de canal

- ▶ Se busca el máximo de la información mutua
  - ★ Para este canal, se obtiene cuando  $H(Y)$  es máxima
  - ★  $H(Y)$  es máxima cuando los símbolos de salida son equiprobables
  - ★ Para este canal, ocurre cuando los símbolos de entrada son equiprobables

$$C = 1 - H_b(\varepsilon) \text{ bits/uso}$$

$$p_X(x_0) = p_X(x_1) = \frac{1}{2}$$

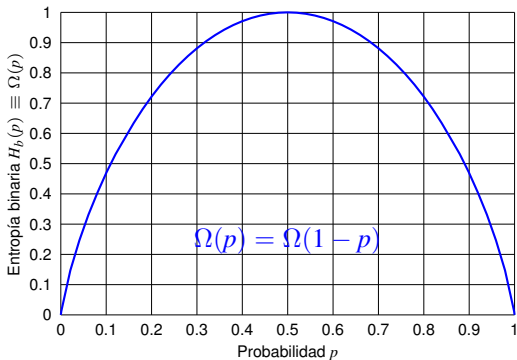
# Entropía binaria: $H_b(p) \equiv \Omega(p)$

- Variable aleatoria binaria

- Alfabeto:  $\{x_0, x_1\}$
- Probabilidades:  $\{p_X(x_0) = p, p_X(x_1) = 1 - p\}$

$$H(X) \equiv H_b(p) \equiv \Omega(p) = -p \log_2(p) - (1-p) \log_2(1-p)$$

$$= p \log_2 \left( \frac{1}{p} \right) + (1-p) \log_2 \left( \frac{1}{1-p} \right) \text{ bits/símbolo}$$



- Valor máximo:  $\max \Omega(p) = 1$  bit/símbolo

- Se alcanza para  $p = 0,5$  (valor de referencia)

# Capacidad de canal para el canal gausiano

- Modelo de relación entrada salida en un canal gausiano

$$Y = X + Z$$

$Z$  es una variable aleatoria gausiana, de media nula y varianza  $P_Z$

- Capacidad de canal en las siguientes condiciones:

- ▶ Potencia transmitida:  $P_X$  watt.
- ▶ Ancho de banda:  $B$  Hz
  - ★ Potencia de ruido:  $P_Z = N_0 B$  watt.

- Cálculo a través de la información mutua

$$C = \max_{f_X(x) \mid E[X^2] \leq P_X} I(X, Y)$$

Restricción  $E[X^2] \leq P_X$  dada por la limitación en potencia

- Resultado

$$C = B \log_2 \left( 1 + \frac{P_X}{N_0 B} \right) \text{ bits/s}$$

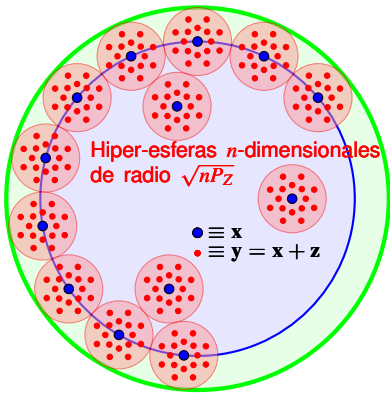
Se obtiene para  $f_X(x)$  gausiana

## Capacidad de canal para canal gausiano (II)

Capacidad sobre canal gausiano en las siguientes condiciones:

- Potencia transmitida:  $P_X$  watt.
- Ancho de banda:  $B$  Hz
  - ▶ Potencia de ruido:  $P_Z = N_0B$  watt.

Capacidad: número de vectores para  $n$  usos sin solapamiento dado el ruido



Hiper-esfera  $n$ -dimensional: radio  $\sqrt{n}P_Z$   
Hiper-esfera  $n$ -dim.: radio  $\sqrt{n(P_X + P_Z)}$

$$M_{ss} = \left(1 + \frac{P_X}{P_Z}\right)^{n/2}$$

$$C = \frac{\log_2 M_{ss}}{n} = \frac{1}{2} \log_2 \left(1 + \frac{P_X}{P_Z}\right)$$

$$C = \frac{1}{2} \log_2 \left(1 + \frac{P_X}{N_0B}\right) \text{ bits/uso}$$

$$C = B \log_2 \left(1 + \frac{P_X}{N_0B}\right) \text{ bits/s}$$

## Capacidad del canal gausiano - Evolución

$$C = B \log_2 \left( 1 + \frac{P_X}{N_0 B} \right) \text{ bits/s}$$

- La capacidad depende de dos parámetros de diseño
  - ▶ Potencia de la señal transmitida,  $P_X$
  - ▶ Ancho de banda disponible en Hz,  $B$
- Capacidad de canal en función de la potencia transmitida  $P_X$

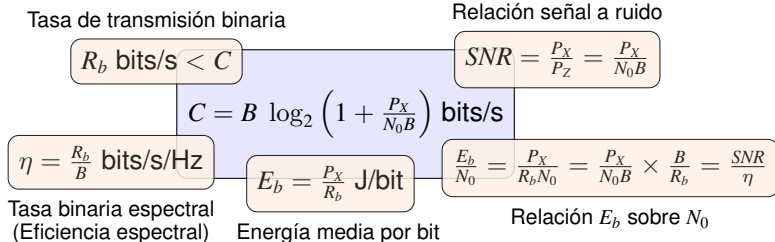
$$\lim_{P_X \rightarrow \infty} C = \infty$$

- ▶ Se puede aumentar  $C$  de forma arbitraria aumentando  $P_X$
- ▶ Aumento lineal de  $C$  requiere aumento exponencial de  $P_X$
- Capacidad de canal en función del ancho de banda ( $B$  Hz)

$$\lim_{B \rightarrow \infty} C = \frac{P_X}{N_0} \log_2(e) = 1,44 \frac{P_X}{N_0}$$

- ▶ El incremento de  $B$  no permite un incremento arbitrario de  $C$

# Límites para la transmisión en un canal gausiano



## ● Sistema de comunicaciones práctico

$$R_b < C \rightarrow R_b < B \log_2 (1 + SNR) \text{ bits/s}$$

- ▶ Dividiendo por  $B$  en ambos lados y reordenando

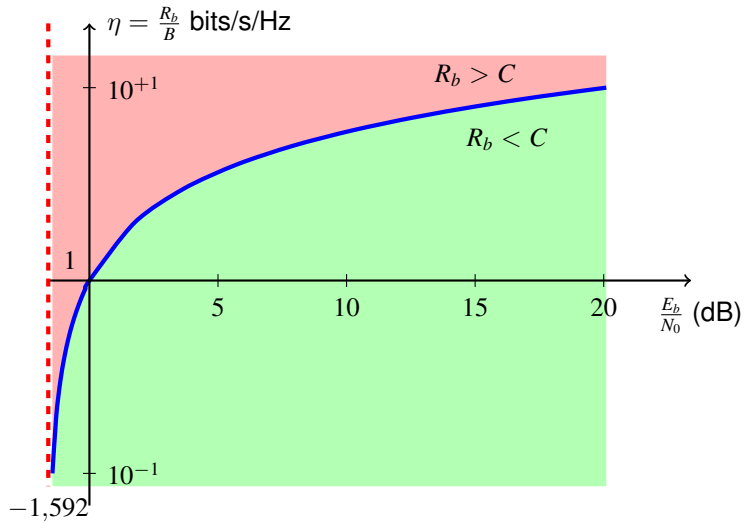
$$\eta < \log_2 (1 + SNR), \quad \eta < \log_2 \left( 1 + \eta \frac{E_b}{N_0} \right)$$

$$SNR > 2^\eta - 1, \quad \frac{E_b}{N_0} > \frac{2^\eta - 1}{\eta}$$

$$\text{Si } \eta \rightarrow 0 \text{ entonces } \frac{E_b}{N_0} = \ln 2 = 0,693 \approx -1,6 \text{ dB}$$

## Tasa binaria espectral frente a $E_b/N_0$

- Se representa sobre el plano  $\eta$  vs  $\frac{E_b}{N_0}$  la curva  $\frac{E_b}{N_0} = \frac{2^n - 1}{\eta}$ 
  - Divide el plano en dos regiones: sistemas con  $R_b < C$  (prácticos) y con  $R_b > C$



# Relación señal a ruido normalizada

- Cota inferior para  $SNR$

$$SNR > 2^\eta - 1$$

- Definición de  $SNR$  normalizada

$$SNR_{norm} = \frac{SNR}{2^\eta - 1}$$

- Cota inferior sobre  $SNR_{norm}$

$$SNR_{norm} > 1 \text{ (0 dB)}$$

# Tipos de códigos

- Mecanismo de introducción de la redundancia
  - ▶ Códigos bloque
    - ★ Bloques de  $k$  bits se codifican de forma independiente
    - ★ Diccionario del código:  $k$  bits sin codificar /  $n$  bits codificados
    - ★ Concepto clave: distancia entre palabras código
    - ★ Ejemplo: código de repetición de orden  $n - 1$

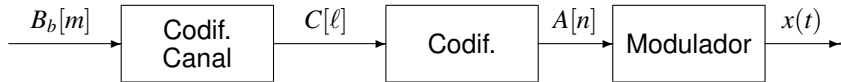
Bits sin codificar ( $k = 1$ )	Bits codificados ( $n$ )
1	11...1
0	00...0

- ▶ Códigos convolucionales
  - ★ Codificación continua mediante filtrado digital
- Capacidad del código
  - ▶ Códigos de detección de errores
  - ▶ Códigos de corrección de errores
- Estadístico para la decisión
  - ▶ Salida dura: decodificación a partir de los bits decididos  $\hat{C}[\ell]$
  - ▶ Salida blanda: decodificación a partir de la salida del demodulador  $q[n]$ 
    - ★ Mejores prestaciones pero mayor complejidad

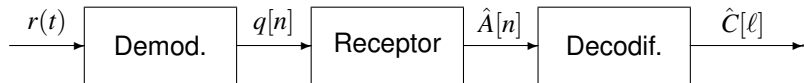
Borrado de bits: se “marcan” los bits/símbolos dudosos

## Salida blanda / salida dura

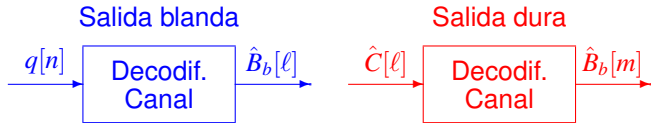
- Diagrama de bloques del transmisor



- Diagrama de bloques del receptor



- Decodificador de canal: salida blanda / salida dura



$B_b[m]$ : bits de información (sin codificar)

$C[\ell]$ : bits codificados

# Salida dura / salida blanda

- Ejemplo: código repetición orden 2, modulación 2-PAM

- ▶ Asignación binaria sobre la constelación:  $0 \equiv -1 / 1 \equiv +1$
- ▶ Observación blanda:  $\mathbf{q} = [-0,01, +1,2, -0,05]$
- ▶ Observación dura:  $\hat{\mathbf{c}} = [0, 1, 0]$

- Decodificación

- ▶ Decodificación dura: por mayoría  $\hat{B} = 0$
- ▶ Decodificación blanda: comparar la observación  $\mathbf{q}$  con:

$$\mathbf{q}_0 = [-1, -1, -1] \quad \text{y} \quad \mathbf{q}_1 = [+1, +1, +1]$$

$$d(\mathbf{q}, \mathbf{q}_0) = \sqrt{(-0,01 - (-1))^2 + (+1,2 - (-1))^2 + (-0,05 - (-1))^2} = 2,59$$

$$d(\mathbf{q}, \mathbf{q}_1) = \sqrt{(-0,01 - (+1))^2 + (+1,2 - (+1))^2 + (-0,05 - (+1))^2} = 1,47$$

- Probabilidad de error para una  $\text{BER}=\varepsilon$  sobre la 2-PAM

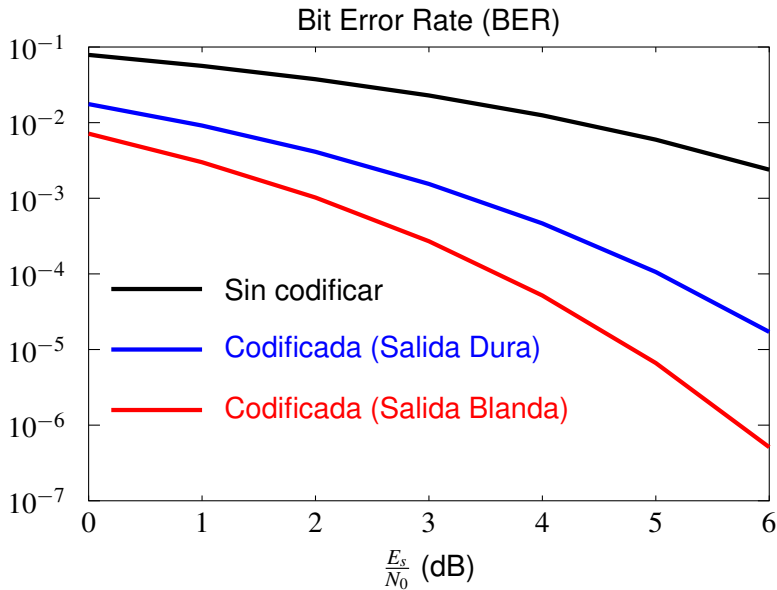
- ▶ Salida dura

$$P_e^{Dura} = 3 \varepsilon^2 (1 - \varepsilon) + \varepsilon^3, \quad \varepsilon = Q\left(\frac{1}{\sqrt{N_0/2}}\right) = Q\left(\sqrt{2 \frac{E_s}{N_0}}\right)$$

- ▶ Salida blanda

$$P_e^{Blanda} = Q\left(\frac{d(\mathbf{q}_0, \mathbf{q}_1)}{2\sqrt{N_0/2}}\right) = Q\left(\frac{\sqrt{3}}{\sqrt{N_0/2}}\right) = Q\left(\sqrt{\frac{6E_s}{N_0}}\right)$$

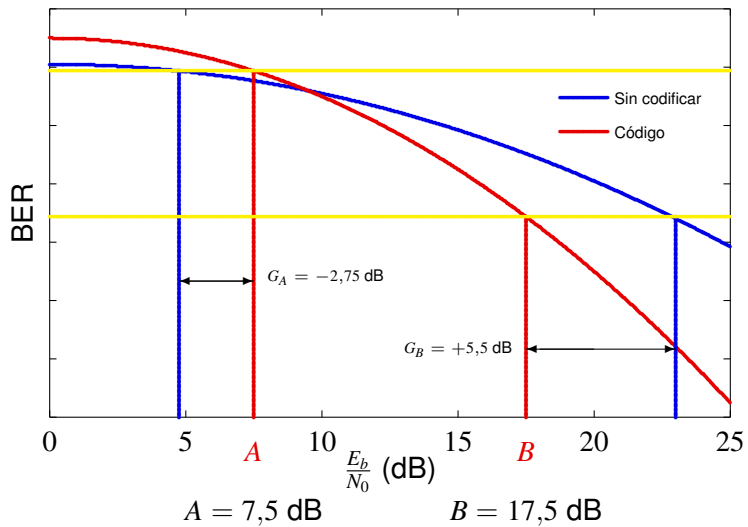
## Salida dura / salida blanda



## Ganancia de codificación

- Definición: diferencia en decibelios entre las relaciones  $E_b/N_0$  necesarias para alcanzar una determinada BER sin codificar y utilizando la codificación
  - ▶  $E_b$ : Energía media por bit de información
- Permite comparar las prestaciones de distintos códigos
- Depende de la BER (o de  $E_b/N_0$ )
  - ▶ Habitualmente se referencia a un valor concreto de  $E_b/N_0$
- Puede ser positiva a partir de un cierto valor de  $E_b/N_0$

# Ganancia de codificación



# Códigos bloque - Definiciones

- Codificación independiente de bloques de  $k$  bits
  - ▶ Conversión en bloques de  $n$  bits  $\rightarrow$  Tasa  $R = k/n$
- Definiciones para los bloques de bits
  - ▶ Información:  
$$\mathbf{b}_i = [b_i[0], b_i[1], \dots, b_i[k-1]], i = 0, 1, \dots, 2^k - 1$$
  - ▶ Codificados:  
$$\mathbf{c}_i = [c_i[0], c_i[1], \dots, c_i[n-1]], i = 0, 1, \dots, 2^k - 1$$
  - ▶ Diccionario del código: mensaje (palabra sin codificar)  $\rightarrow$  palabra código  
$$\mathbf{b}_i \rightarrow \mathbf{c}_i$$
- Peso de una palabra código  $w(\mathbf{c}_i)$ 
  - ▶ Número de unos de la palabra
- Distancia de Hamming entre dos palabras código  $d^H(\mathbf{c}_i, \mathbf{c}_j)$ 
  - ▶ Número de bits diferentes entre ambas palabras
- Distancia mínima del código:  $d_{min}^H \equiv d_{min}$ 
  - ▶ Mínima distancia de Hamming entre dos palabras código distintas

# Códigos bloque - Ejemplo

- Diccionario del código para un código bloque  $k = 2, n = 6$

$i$	$\mathbf{b}_i$	$\mathbf{c}_i$
0	00	001110
1	01	010011
2	10	100100
3	11	111001

- Peso de las palabras

$$w(\mathbf{c}_0) = 3, \quad w(\mathbf{c}_1) = 3, \quad w(\mathbf{c}_2) = 2, \quad w(\mathbf{c}_3) = 4$$

- Distancias de Hamming entre dos palabras

$$\begin{aligned} d(\mathbf{c}_0, \mathbf{c}_1) &= 4, & d(\mathbf{c}_1, \mathbf{c}_2) &= 5 \\ d(\mathbf{c}_0, \mathbf{c}_2) &= 3, & d(\mathbf{c}_1, \mathbf{c}_3) &= 3 \\ d(\mathbf{c}_0, \mathbf{c}_3) &= 5, & d(\mathbf{c}_2, \mathbf{c}_3) &= 4 \end{aligned}$$

- Distancia mínima del código

$$d_{min} = 3$$

# Estimador óptimo - Salida dura

- Observación condicionada a la transmisión de  $\mathbf{c}_i$

$$\mathbf{r} = \mathbf{c}_i + \mathbf{e}, \quad \mathbf{e} = [e[0], e[1], \dots, e[n-1]]$$

- Modelo probabilístico del patrón de error ( $BER = \varepsilon$ )

$$p_{E[j]}(e[j]) = \varepsilon^{e[j]} (1 - \varepsilon)^{1-e[j]} = \begin{cases} \varepsilon, & e[j] = 1 \\ 1 - \varepsilon, & e[j] = 0 \end{cases}$$

- Verosimilitud (probabilidad condicional de la observación)

- Error:  $e[j] = r[j] - c[j]$
- Verosimilitud para cada bit dado el bit de la observación  $r[j]$

$$p_{R[j]|C[j]}(r[j]|c[j]) = \varepsilon^{e[j]} (1 - \varepsilon)^{1-e[j]} = \varepsilon^{r[j]-c_i[j]} (1 - \varepsilon)^{1-(r[j]-c_i[j])}$$

- Verosimilitud de una palabra código para la observación  $\mathbf{r}$

$$p_{\mathbf{R}|\mathbf{C}}(\mathbf{r}|\mathbf{c}_i) = \prod_{j=0}^{n-1} \varepsilon^{r[j]-c_i[j]} (1 - \varepsilon)^{1-(r[j]-c_i[j])}$$

- Estimador de máxima verosimilitud (ML)

$$\hat{\mathbf{c}} = \mathbf{c}_i = \arg \min_{\mathbf{c}_i} d^H(\mathbf{r}, \mathbf{c}_i)$$

# Capacidades de detección y corrección con salida dura

- Prestaciones dependen de distancias de Hamming
  - ▶ Un error no será detectado si los errores de transmisión lo transforman en otra palabra del código
  - ▶ Un error ocurre cuando el número de errores en la transmisión de la palabra codificada hace que la palabra recibida esté a una menor distancia de Hamming de otra palabra del código
- Prestaciones determinadas por la distancia mínima del código:  $d_{min}$ 
  - ▶ Capacidad de detección (en  $n$  bits):

$$d = d_{min} - 1 \text{ errores}$$

- ▶ Capacidad de corrección (en  $n$  bits):

$$t = \left\lfloor \frac{d_{min} - 1}{2} \right\rfloor \text{ errores}$$

## Estimador óptimo - Salida blanda

- Depende de la constelación y de la asignación binaria
  - $M$  símbolos:  $m = \log_2(M)$  bits/símbolo
- Secuencia de símbolos para una palabra código

$$\mathbf{c}_i \rightarrow \mathbf{A}_i = [A_i[0], A_i[1], \dots, A_i[n' - 1]], n' = \frac{n}{m}$$

- Modelo probabilístico de la observación condicionada a transmitir  $\mathbf{c}_i$

$$\mathbf{q} = \mathbf{A}_i + \mathbf{e}, \mathbf{e} = [e[0], e[1], \dots, e[n' - 1]]$$

- Modelo probabilístico del error:

$$f_E(e[j]) = N(0, \sigma_z^2)$$

- Verosimilitud (probabilidad condicional de la observación):

$$f_{\mathbf{q}|\mathbf{A}}(\mathbf{q}|\mathbf{A}_i) = N(\mathbf{A}_i, \sigma_z^2)$$

- Estimador de máxima verosimilitud: minimizar distancia euclídea

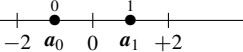
$$\hat{\mathbf{c}} = \mathbf{c}_i, i = \arg \min_i d^E(\mathbf{q}, \mathbf{A}_i)$$

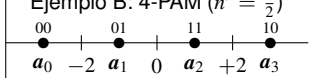
# Ejemplo de código bloque y asignación de símbolos

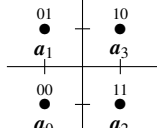
- Diccionario del código para un código bloque  $k = 2$   $n = 6$

$i$	$\mathbf{b}_i$	$\mathbf{c}_i$
0	00	001110
1	01	010011
2	10	100100
3	11	111001

- Asignación de símbolos depende de la constelación y asignación binaria

Ejemplo A: 2-PAM ( $n' = n$ )	$A_0 = [a_0, a_0, a_1, a_1, a_1, a_0] = [-1, -1, +1, +1, +1, -1]$
	$A_1 = [a_0, a_1, a_0, a_0, a_1, a_1] = [-1, +1, -1, -1, +1, +1]$
	$A_2 = [a_1, a_0, a_0, a_1, a_0, a_0] = [+1, -1, -1, +1, -1, -1]$
	$A_3 = [a_1, a_1, a_1, a_0, a_0, a_1] = [+1, +1, +1, -1, -1, +1]$

Ejemplo B: 4-PAM ( $n' = \frac{n}{2}$ )	$A_0 = [a_0, a_2, a_3] = [-3, +1, +3]$
	$A_1 = [a_1, a_0, a_2] = [-1, -3, +1]$
	$A_2 = [a_3, a_1, a_0] = [+3, -1, -3]$
	$A_3 = [a_2, a_3, a_1] = [+1, +3, -1]$

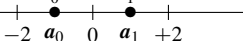
Ejemplo C: 4-QAM ( $n' = \frac{n}{2}$ )	$A_0 = [a_0, a_2, a_3] = \begin{bmatrix} [-1] \\ [-1] \end{bmatrix}, \begin{bmatrix} [+1] \\ [-1] \end{bmatrix}, \begin{bmatrix} [+1] \\ [+1] \end{bmatrix}$
	$A_1 = [a_1, a_0, a_2] = \begin{bmatrix} [-1] \\ [+1] \end{bmatrix}, \begin{bmatrix} [-1] \\ [-1] \end{bmatrix}, \begin{bmatrix} [+1] \\ [-1] \end{bmatrix}$
	$A_2 = [a_3, a_1, a_0] = \begin{bmatrix} [+1] \\ [+1] \end{bmatrix}, \begin{bmatrix} [-1] \\ [+1] \end{bmatrix}, \begin{bmatrix} [-1] \\ [-1] \end{bmatrix}$
	$A_3 = [a_2, a_3, a_1] = \begin{bmatrix} [+1] \\ [-1] \end{bmatrix}, \begin{bmatrix} [+1] \\ [+1] \end{bmatrix}, \begin{bmatrix} [-1] \\ [+1] \end{bmatrix}$

# Ejemplo de decodificación sobre salida blanda

- Diccionario del código para un código bloque  $k = 2 n = 6$

$i$	$\mathbf{b}_i$	$\mathbf{c}_i$
0	00	001110
1	01	010011
2	10	100100
3	11	111001

- Asignación de símbolos

Ejemplo A: 2-PAM ( $n' = n$ )	$A_0 = [a_0, a_0, a_1, a_1, a_1, a_0] = [-1, -1, +1, +1, +1, -1]$
	$A_1 = [a_0, a_1, a_0, a_0, a_1, a_1] = [-1, +1, -1, -1, +1, +1]$
	$A_2 = [a_1, a_0, a_0, a_1, a_0, a_0] = [+1, -1, -1, +1, -1, -1]$
	$A_3 = [a_1, a_1, a_1, a_0, a_0, a_1] = [+1, +1, +1, -1, -1, +1]$

$n$	0	1	2	3	4	5
$q[n]$	+0,8	-1,2	-0,7	+0,2	-0,5	-1,1

$$d(\mathbf{q}, \mathbf{A}_0) = \sqrt{(+0,8 - (-1))^2 + (-1,2 - (-1))^2 + (-0,7 - (+1))^2 + (+0,2 - (+1))^2 + (-0,5 - (+1))^2 + (-1,1 - (-1))^2} = \sqrt{9,07}$$

$$d(\mathbf{q}, \mathbf{A}_1) = \sqrt{(+0,8 - (-1))^2 + (-1,2 - (+1))^2 + (-0,7 - (-1))^2 + (+0,2 - (-1))^2 + (-0,5 - (+1))^2 + (-1,1 - (+1))^2} = \sqrt{16,27}$$

$$d(\mathbf{q}, \mathbf{A}_2) = \sqrt{(+0,8 - (+1))^2 + (-1,2 - (-1))^2 + (-0,7 - (-1))^2 + (+0,2 - (+1))^2 + (-0,5 - (-1))^2 + (-1,1 - (-1))^2} = \sqrt{1,07}$$

$$d(\mathbf{q}, \mathbf{A}_3) = \sqrt{(+0,8 - (+1))^2 + (-1,2 - (+1))^2 + (-0,7 - (+1))^2 + (+0,2 - (-1))^2 + (-0,5 - (-1))^2 + (-1,1 - (+1))^2} = \sqrt{13,87}$$

Decisión:  $\hat{\mathbf{c}} = \mathbf{c}_2 = 100100$

## Ejemplo de decodificación sobre salida blanda (II)

- Diccionario del código para un código bloque  $k = 2$   $n = 6$

$i$	$\mathbf{b}_i$	$\mathbf{c}_i$
0	00	001110
1	01	010011
2	10	100100
3	11	111001

- Asignación de símbolos

Ejemplo B: 4-PAM ( $n' = \frac{n}{2}$ )		$A_0 = [a_0, a_2, a_3] = [-3, +1, +3]$
00	01	$A_1 = [a_1, a_0, a_2] = [-1, -3, +1]$
11	10	$A_2 = [a_3, a_1, a_0] = [+3, -1, -3]$
$a_0$	$-2$	$A_3 = [a_2, a_3, a_1] = [+1, +3, -1]$
$a_1$	$0$	
$a_2$	$+2$	
$a_3$		

$n$	0	1	2
$q[n]$	+0,8	+2,2	-0,7

$$d(\mathbf{q}, A_0) = \sqrt{(0,8 - (-3))^2 + (2,2 - (+1))^2 + (-0,7 - (+3))^2} = \sqrt{29,57}$$

$$d(\mathbf{q}, A_1) = \sqrt{(0,8 - (-1))^2 + (2,2 - (-3))^2 + (-0,7 - (+1))^2} = \sqrt{33,17}$$

$$d(\mathbf{q}, A_2) = \sqrt{(0,8 - (+3))^2 + (2,2 - (-1))^2 + (-0,7 - (-3))^2} = \sqrt{20,37}$$

$$d(\mathbf{q}, A_3) = \sqrt{(0,8 - (+1))^2 + (2,2 - (+3))^2 + (-0,7 - (-1))^2} = \sqrt{0,77}$$

Decisión:  $\hat{\mathbf{c}} = \mathbf{c}_3 = 111001$

# Códigos bloque lineales

- Código  $C(k, n)$
- Base del código:  $k$  palabras código linealmente independientes

$$\{\mathbf{g}_0, \mathbf{g}_1, \dots, \mathbf{g}_{k-1}\}$$

$$\mathbf{g}_i = [g_i[0], g_i[1], \dots, g_i[n-1]]$$

- Palabra código: combinación lineal de los  $k$  elementos de la base

$$\mathbf{c}_i = b_i[0] \mathbf{g}_0 + b_i[1] \mathbf{g}_1 + \dots + b_i[k-1] \mathbf{g}_{k-1}$$

Coeficientes de la expansión:  $k$  bits de información (sin codificar)  $b_i[\ell]$

## ● Propiedades

- ▶ Todos los elementos de la base pertenecen al código

$$\mathbf{c}_i = \mathbf{g}_\ell \rightarrow w(\mathbf{b}_i) = 1, \quad b_i[\ell] = 1$$

- ▶  $\mathbf{c}_0 = \mathbf{0} = [0, 0, \dots, 0]$  pertenece al código

★ Asociada a  $\mathbf{b}_0 = \mathbf{0} = [0, 0, \dots, 0]$

- ▶ Toda combinación lineal de palabras código  $\in C(k, n)$
- ▶ Todas las palabras del código tienen a otra palabra a distancia  $d_{min}$
- ▶ Por tanto,  $\mathbf{c}_0$  tiene otra palabra a  $d_{min}$

$$d_{min} = \min_{\mathbf{c}_i \neq \mathbf{c}_0} w(\mathbf{c}_i)$$

# Matriz generadora del código

- Agrupación de la base en una matriz  $k \times n$

$$\mathbf{G} = \begin{bmatrix} \mathbf{g}_0 \\ \mathbf{g}_1 \\ \vdots \\ \mathbf{g}_{k-1} \end{bmatrix} = \begin{bmatrix} g_0[0] & g_0[1] & \cdots & g_0[n-1] \\ g_1[0] & g_1[1] & \cdots & g_1[n-1] \\ \vdots & \vdots & \ddots & \vdots \\ g_{k-1}[0] & g_{k-1}[1] & \cdots & g_{k-1}[n-1] \end{bmatrix}$$

- Obtención de las palabras código

$$\mathbf{c}_i = \mathbf{b}_i \mathbf{G}$$

- Códigos sistemáticos: el mensaje  $\mathbf{b}_i$  forma parte de  $\mathbf{c}_i$

$$\mathbf{c}_i = [\mathbf{b}_i | \mathbf{p}_i] \rightarrow \mathbf{G} = [\mathbf{I}_k | \mathbf{P}]$$

$$\mathbf{c}_i = [\mathbf{p}_i | \mathbf{b}_i] \rightarrow \mathbf{G} = [\mathbf{P} | \mathbf{I}_k]$$

## Matriz generadora del código - Ejemplo

- Código  $C(2, 5)$

$$\mathbf{G} = \begin{bmatrix} 0 & 1 & 1 & 1 & 0 \\ 1 & 0 & 1 & 0 & 1 \end{bmatrix}$$

- Palabras código

$\mathbf{b}_i$	$\mathbf{c}_i$
0 0	0 0 0 0 0
0 1	1 0 1 0 1
1 0	0 1 1 1 0
1 1	1 1 0 1 1

- Código sistemático
- Distancia mínima del código:  $d_{min} = 3$ 
  - ▶ Detecta 2 errores (en  $n = 5$  bits)
  - ▶ Corrige 1 error (en  $n = 5$  bits)

## Matriz de chequeo de paridad

- Matriz  $(n - k) \times n$ : complemento ortogonal de  $\mathbf{G}$

$$\mathbf{G} \mathbf{H}^T = \mathbf{0} \text{ matriz de } k \times (n - k) \text{ ceros}$$

- Códigos sistemáticos

$$\mathbf{G} = [\mathbf{I}_k | \mathbf{P}] \rightarrow \mathbf{H} = [\mathbf{P}^T | \mathbf{I}_{n-k}]$$

$$\mathbf{G} = [\mathbf{P} | \mathbf{I}_k] \rightarrow \mathbf{H} = [\mathbf{I}_{n-k} | \mathbf{P}^T]$$

- Identificación de palabras código

$$\mathbf{c}_i \mathbf{H}^T = \mathbf{b}_i \mathbf{G} \mathbf{H}^T = \mathbf{0} \text{ vector de } n - k \text{ ceros}$$

- Decodificación mediante síndrome

► Modelo de transmisión:  $\mathbf{r} = \mathbf{c}_i + \mathbf{e}$  ( $\mathbf{e}$ : patrón de error)

► Síndrome

$$\mathbf{s} = \mathbf{r} \mathbf{H}^T = (\mathbf{c}_i + \mathbf{e}) \mathbf{H}^T = \mathbf{e} \mathbf{H}^T$$

► Decodificación: Tabla de síndromes

## Matriz de chequeo de paridad y tabla de síndromes - Ejemplo

$$\mathbf{G} = \left[ \begin{array}{ccc|cc} 0 & 1 & 1 & 1 & 0 \\ 1 & 0 & 1 & 0 & 1 \end{array} \right] \rightarrow \mathbf{H} = \left[ \begin{array}{ccc|cc} 1 & 0 & 0 & 0 & 1 \\ 0 & 1 & 0 & 1 & 0 \\ 0 & 0 & 1 & 1 & 1 \end{array} \right]$$

- Tabla de síndromes:  $\mathbf{s} = \mathbf{e} \mathbf{H}^T$

$\mathbf{e}$	$\mathbf{s}$
0 0 0 0 0	0 0 0
1 0 0 0 0	1 0 0
0 1 0 0 0	0 1 0
0 0 1 0 0	0 0 1
0 0 0 1 0	0 1 1
0 0 0 0 1	1 0 1
<hr/>	
?	1 1 0
?	1 1 1

$\mathbf{s} = 110 \rightarrow \mathbf{e}_1 = 11000, \mathbf{e}_2 = 00011, \mathbf{e}_3 = 10110, \mathbf{e}_4 = 01101$

$\mathbf{s} = 111 \rightarrow \mathbf{e}_1 = 10010, \mathbf{e}_2 = 01001, \mathbf{e}_3 = 11100, \mathbf{e}_4 = 00111$

Solución: elegir uno de los dos patrones de  $t + 1 = 2$  errores ( $\mathbf{e}_1$  o  $\mathbf{e}_2$ )

- Que haya dos bits erróneos es más probable que haya tres o más errores

## Decodificación por síndrome

- Proceso de decodificación alternativo y equivalente a máxima verosimilitud sobre salida dura
  - ▶ Pasos a seguir:

- ➊ Cálculo del síndrome

$$\mathbf{s} = \mathbf{r} \mathbf{H}^T$$

- ➋ Identificación del patrón de error (tabla de síndromes)

$$\mathbf{s} \rightarrow \mathbf{e}$$

- ➌ Corrección de errores (decisión de palabra código)

$$\hat{\mathbf{c}} = \mathbf{r} + \mathbf{e} = \mathbf{c}_i$$

- ➍ Decodificación

$$\hat{\mathbf{c}} = \mathbf{c}_i \rightarrow \hat{\mathbf{b}} = \mathbf{b}_i$$

Más sencillo en códigos sistemáticos

# Ventaja de trabajar con G y H y con códigos sistemáticos

- Implementación del codificador y del decodificador
  - ▶ Número de palabras del código:  $2^k$ 
    - ★  $k = 2, n = 5$ 
      - 4 palabras
    - ★  $k = 247, n = 255$  (Código de Hamming)
      - $2^{247} \approx 2,26 \cdot 10^{74}$  palabras
  - ▶ Número de síndromes posibles:  $2^{n-k}$ 
    - ★  $k = 2, n = 5 (t = 1)$ 
      - 8 síndromes
    - ★  $k = 247, n = 255 (t = 1)$ 
      - 256 síndromes
- Alternativa: códigos estructurados
  - ▶ Implementación mediante registros de desplazamiento
    - ★ Definición mediante polinomios generadores

## Método de eliminación - Ejemplo

- Método para obtener una matriz de chequeo para un código no sistemático
- Sustitución de filas por combinaciones lineales de otras
  - ▶ 1<sup>a</sup> fila: 1<sup>a</sup>+2<sup>a</sup> filas
  - ▶ 2<sup>a</sup> fila: 1<sup>a</sup> fila
- Código  $C(2,5)$

$$\mathbf{G} = \left[ \begin{array}{ccc|cc} 0 & 1 & 1 & 1 & 0 \\ 1 & 0 & 1 & 0 & 1 \end{array} \right] \rightarrow \mathbf{G}' = \left[ \begin{array}{ccccc} 1 & 1 & 0 & 1 & 1 \\ 0 & 1 & 1 & 1 & 0 \end{array} \right]$$

- Palabras código

$\mathbf{b}_i$	$\mathbf{c}_i$		$\mathbf{b}'_i$	$\mathbf{c}'_i$
0 0	0 0 0 0 0		0 0	0 0 0 0 0
0 1	1 0 1 0 1	→	0 1	0 1 1 1 0
1 0	0 1 1 1 0		1 0	1 1 0 1 1
1 1	1 1 0 1 1		1 1	1 0 1 0 1

- Mismas palabras código / distintas asignaciones
  - ▶ La misma matriz  $\mathbf{H}$  es válida para generar la tabla de síndromes

## Límite de Hamming

- Número de síndromes con redundancia  $r = n - k$ :

$$2^{n-k} = 2^r$$

- Límite de Hamming: para corregir  $t$  errores la mínima redundancia necesaria es

$$r \geq \log_2 V(n, t), \quad V(n, t) = \sum_{j=0}^t \binom{n}{j}$$

- ▶  $V(n, t)$ : Esfera de Hamming de radio  $t$
- Interpretación con número de síndromes disponibles

$$\binom{n}{0} + \binom{n}{1} + \cdots + \binom{n}{t} \leq 2^{n-k}$$

- ▶ Igualdad: Códigos perfectos

# Códigos perfectos

- Códigos de repetición (decisión por mayoría)

- ▶  $n$  impar,  $k = 1$ ,  $t = \frac{n-1}{2}$  ( $d_{min} = n$ )

- Códigos de Hamming

- ▶ Para  $m \geq 3$ ,  $n = 2^m - 1$ ,  $k = 2^m - m - 1$ ,  $t = 1$  ( $d_{min} = 3$ )

- ★ Redundancia:  $n - k = m$

- ▶ Matriz de chequeo: en las  $n$  columnas aparecen todas las posibles combinaciones binarias de  $(n - k)$  bits, excepto la todo ceros

- ★ Ejemplo: Código Hamming (4,7)

$$\mathbf{H} = \begin{bmatrix} 1 & 0 & 0 & 0 & 1 & 1 & 1 \\ 0 & 1 & 0 & 1 & 0 & 1 & 1 \\ 0 & 0 & 1 & 1 & 1 & 0 & 1 \end{bmatrix}$$

- Código de Golay

- ▶  $n = 23$ ,  $k = 12$ ,  $t = 3$  ( $d_{min} = 7$ )

## Código de Golay

#### ● Matriz generadora sistemática

### ● Código de Golay extendido

- ▶ Se añade un bit de paridad:  $d_{min} = 8$ , (detecta  $d = 7$  errores)
    - ★ No es un código perfecto
  - ▶ Código  $k = 12, n = 24$ , tasa  $R = \frac{1}{2}$

## Prestaciones - Decodificación dura

- Probabilidad de error de bit (BER) en la transmisión:  $\varepsilon$ 
  - ▶ Se comenten errores cuando se excede la capacidad de corrección del código
- Código perfecto de corrección de hasta  $t$  errores en  $n$  bits

$$P_e = \sum_{e=t+1}^n \binom{n}{e} \varepsilon^e (1-\varepsilon)^{n-e}$$

- Códigos no perfectos que corrigen:
  - ▶ Todos los patrones de hasta  $t$  errores
  - ▶ Y además  $a$  patrones de  $t + 1$  errores

$$P_e = \left[ \binom{n}{t+1} - a \right] \varepsilon^{t+1} (1-\varepsilon)^{n-(t+1)} + \sum_{e=t+2}^n \binom{n}{e} \varepsilon^e (1-\varepsilon)^{n-e}$$

- Codificación tipo Gray o pseudo-Gray para SNR alta

$$BER \approx \frac{1}{k} P_e$$

## Prestaciones - Decodificación blanda

- Probabilidad de error

$$P_e \approx c Q\left(\frac{d_{min}^E}{2\sqrt{N_0/2}}\right)$$

- ▶  $d_{min}^E$ : mínima distancia euclídea entre las secuencias de símbolos correspondientes a dos palabras código diferentes

$$d_{min}^E = \min_{j \neq i} d^E(\mathbf{A}_i, \mathbf{A}_j)$$

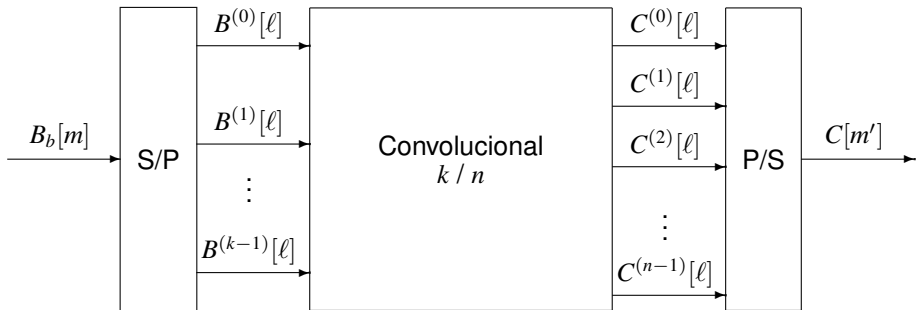
- ▶  $c$ : máximo número de palabras cuyas secuencias de símbolos están a distancia mínima (euclídea) de la de una dada
- En general,  $d_{min}^E$  depende de la constelación y de la asignación binaria
  - ▶ Modulaciones binarias (constelación de 2 símbolos  $\mathbf{a}_0$  y  $\mathbf{a}_1$ )

$$d^E(\mathbf{c}_i, \mathbf{c}_j) = d^E(\mathbf{a}_0, \mathbf{a}_1) \sqrt{d^H(\mathbf{c}_i, \mathbf{c}_j)}$$

$$P_e \approx c Q\left(\frac{d^E(\mathbf{a}_0, \mathbf{a}_1)}{2\sqrt{N_0/2}} \sqrt{d_{min}^H}\right)$$

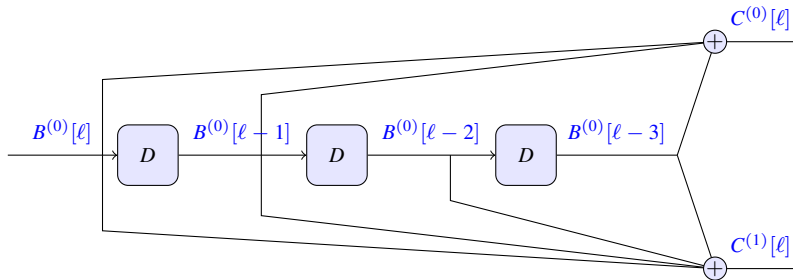
# Códigos convolucionales

- Conversor serie / paralelo (S/P)
- Codificador convolucional
- Conversor paralelo / serie (P/S)



# Códigos convolucionales

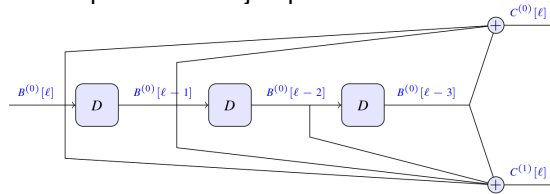
- Introducción de la redundancia mediante filtrado
  - ▶ Introducción de memoria
- Tasa  $R = k/n$ : banco de filtros con
  - ▶  $k$  entradas
  - ▶  $n$  salidas



- Notación:
  - ▶ Entradas:  $B^{(i)}[\ell]$ , con  $i = 0, 1, \dots, k - 1$
  - ▶ Salidas:  $C^{(j)}[\ell]$ , con  $j = 0, 1, \dots, n - 1$

# Representaciones de los códigos convolucionales

- Representación esquemática - Ejemplo A



- Relación entrada salidas (Analítica)

$$C^{(0)}[\ell] = B^{(0)}[\ell] + B^{(0)}[\ell - 1] + B^{(0)}[\ell - 3]$$

$$C^{(1)}[\ell] = B^{(0)}[\ell] + B^{(0)}[\ell - 1] + B^{(0)}[\ell - 2] + B^{(0)}[\ell - 3]$$

- Representación de secuencias con polinomios en  $D$  - Transformada  $D$

$$B^{(i)}(D) = \sum_{\ell} B^{(i)}[\ell] D^{\ell}$$

- ▶ Propiedad de la representación en  $D$  respecto a retardos

$$B^{(i)}[\ell - d] \leftrightarrow B^{(i)}(D) D^d$$

## Representaciones de los códigos convolucionales (II)

- Notación mediante polinomios en  $D$

$$C^{(0)}(D) = B^{(0)}(D) \{1 + D + D^3\}$$

$$C^{(1)}(D) = B^{(0)}(D) \{1 + D + D^2 + D^3\}$$

- Notación matricial (polinomios):

$$\mathbf{C}(D)_{1 \times n} = \mathbf{B}(D)_{1 \times k} \mathbf{G}(D)_{k \times n}$$

- Matriz generadora de tamaño  $k \times n$

- Cada elemento es un polinomio en  $D$
- Elemento fila  $i$  columna  $j$ : contribución a la salida  $j$ -ésima de la entrada  $i$ -ésima
- Ejemplos
  - Ejemplo anterior (A):  $k = 1, n = 2$

$$\mathbf{G}(D) = [1 + D + D^3, 1 + D + D^2 + D^3]_{1 \times 2}$$

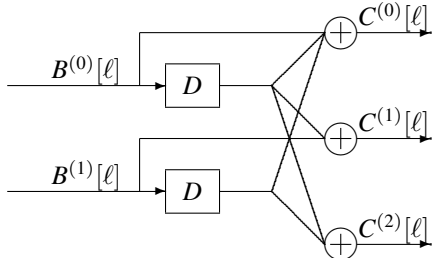
- Otro ejemplo (B):  $k = 2, n = 3$

$$\mathbf{G}(D) = \begin{bmatrix} 1 + D & D & D \\ D & 1 & D \end{bmatrix}_{2 \times 3}$$

## Paso a representación esquemática - Ejemplo B

$$\mathbf{G}(D) = \begin{bmatrix} 1+D & D & D \\ D & 1 & D \end{bmatrix}_{2 \times 3}$$

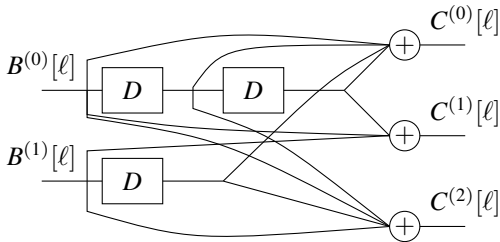
- Número de entradas del banco de filtros:
  - ▶ Número de filas de la matriz  $\mathbf{G}(D)$ :  $k = 2$
- Número de salidas del banco de filtros:
  - ▶ Número de columnas de la matriz  $\mathbf{G}(D)$ :  $n = 3$
- Número de memorias (elementos de retardo) de cada entrada:
  - ▶ Máximo grado de los polinomios en su correspondiente fila:  $M^{(0)} = 1, M^{(1)} = 1$



## Paso a representación esquemática - Ejemplo C

$$\mathbf{G}(D) = \begin{bmatrix} 1 + D + D^2 & 1 + D^2 & 1 + D \\ D & 1 & 1 + D \end{bmatrix}_{2 \times 3}$$

- Número de entradas del banco de filtros:
  - ▶ Número de filas de la matriz  $\mathbf{G}(D)$ :  $k = 2$
- Número de salidas del banco de filtros:
  - ▶ Número de columnas de la matriz  $\mathbf{G}(D)$ :  $n = 3$
- Número de memorias (elementos de retardo) de cada entrada:
  - ▶ Máximo grado de los polinomios en su correspondiente fila:  $M^{(0)} = 2, M^{(1)} = 1$



# Parámetros de interés

- Memoria total del código:  $M_t$ 
  - ▶ Número total de unidades de retardo (memorias)

$$M_t = \sum_{i=0}^{k-1} M^{(i)}$$

- ▶ Memoria de la entrada  $i$ -ésima:

$$M^{(i)} = \max_j \text{grado}(g_{i,j}(D))$$

- Longitud de restricción:  $K$

- ▶ Máxima longitud de la respuesta al impulso del codificador  
(máximo número de instantes de tiempo en los que un bit afecta a la salida del codificador)

$$K = 1 + \max_{i,j} \text{grado}(g_{i,j}(D)) = 1 + K_E$$

$K_E$ : memoria de la respuesta al impulso del codificador

- ▶ En general las prestaciones aumentan con  $K$

# Códigos sistemáticos

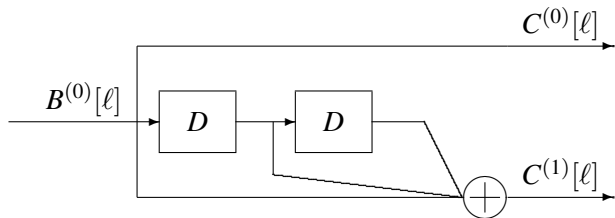
- Matriz de generación

$$\mathbf{G}(D) = [\mathbf{I}_k \quad | \quad \mathbf{P}(D)]$$

$$\mathbf{G}(D) = [\mathbf{P}(D) \quad | \quad \mathbf{I}_k]$$

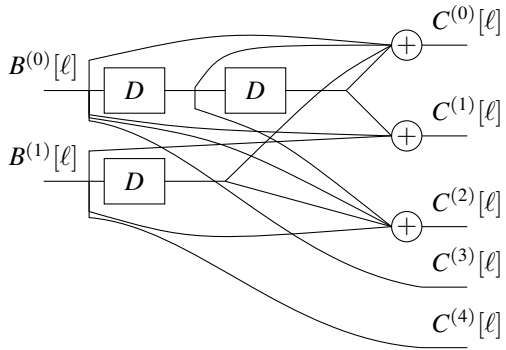
- Las entradas se “copian” en algunas de las salidas
- Ejemplo (D)

$$\mathbf{G}(D) = [1 \quad 1 + D + D^2]$$



## Códigos sistemáticos - otro ejemplo (E)

$$\mathbf{G}(D) = \left[ \begin{array}{ccc|cc} 1 + D + D^2 & 1 + D^2 & 1 + D & 1 & 0 \\ D & 1 & 1 + D & 0 & 1 \end{array} \right]$$



# Diagrama de rejilla

- Definición del estado del codificador en un instante  $\ell$

- Contenido de sus memorias ( $M_t$  bits ordenados)

$$\psi[\ell] = [B^{(0)}[\ell - 1], \dots, B^{(0)}[\ell - M^{(0)}], \dots, B^{(k-1)}[\ell - 1], \dots, B^{(k-1)}[\ell - M^{(k-1)}]]$$

- Diagrama de rejilla

$$\psi[\ell] \xrightarrow{\text{etiqueta}} \psi[\ell + 1]$$

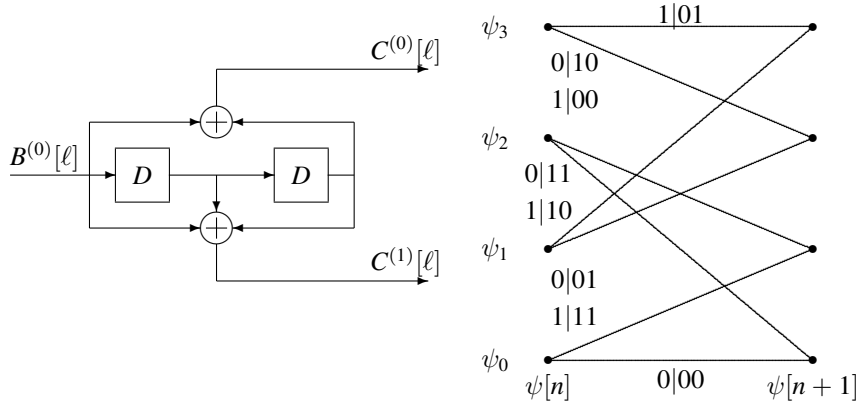
- Etiquetado de la rejilla

- Bits a la entrada (sin codificar) | Bits a la salida (codificados)

$$B^{(0)}[\ell], B^{(1)}[\ell], \dots, B^{(k-1)}[\ell] \quad \Big| \quad C^{(0)}[\ell], C^{(1)}[\ell], \dots, C^{(n-1)}[\ell]$$

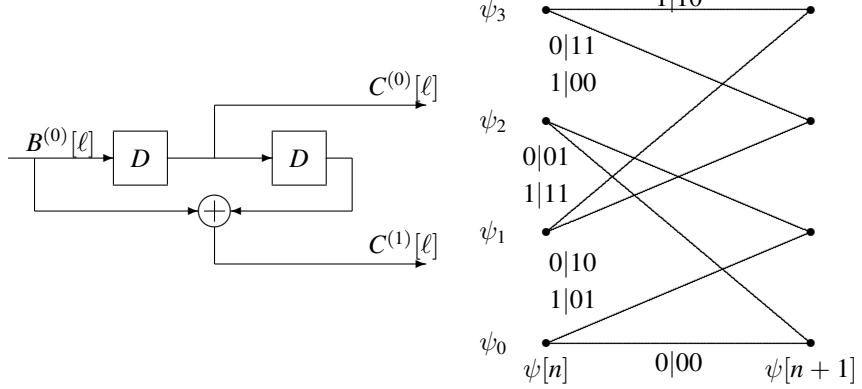
# Ejemplo - Convolucional F

- Estado:  $\psi[\ell] = [B^{(0)}[\ell - 1], B^{(0)}[\ell - 2]]$
- Estados:  $\psi_0 = [0, 0]$ ,  $\psi_1 = [1, 0]$ ,  $\psi_2 = [0, 1]$ ,  $\psi_3 = [1, 1]$



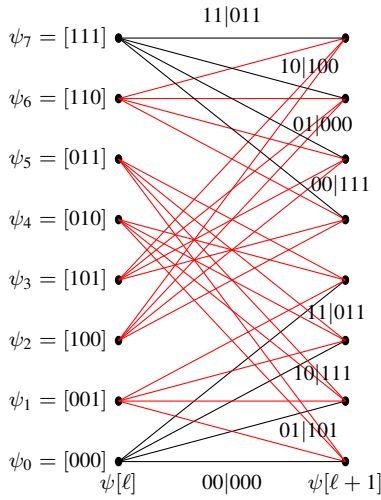
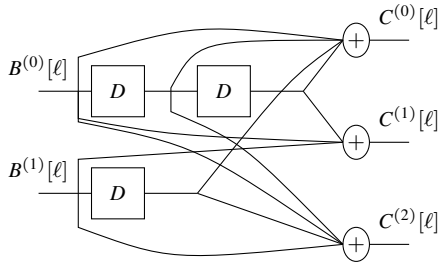
## Ejemplo - Convolucional G

- Estado:  $\psi[\ell] = [B^{(0)}[\ell - 1], B^{(0)}[\ell - 2]]$
- Estados:  $\psi_0 = [0, 0]$ ,  $\psi_1 = [1, 0]$ ,  $\psi_2 = [0, 1]$ ,  $\psi_3 = [1, 1]$



## Ejemplo - Convolucional C

- Estado:  $\psi[\ell] = [B^{(0)}[\ell - 1], B^{(0)}[\ell - 2], B^{(1)}[\ell - 1]]$

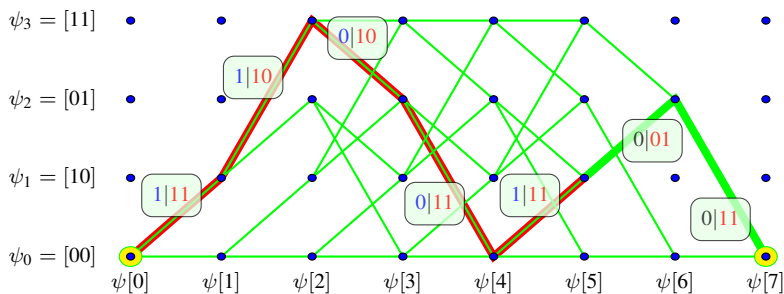


## Cabecera y número de transiciones en la rejilla

- Codificación de  $L$  bloques de  $k$  bits:  $k \times L$  bits (info)
  - ▶ Conversión serie / paralelo
    - ★  $L$  instantes discretos para  $B^{(i)}[\ell]$ ,  $\ell \in \{0, 1, \dots, L - 1\}$
- Longitud de los bits codificados con información:  $n \times L$
- Cabecera para inicializar el codificador
  - ▶ Cabecera de  $k \times K_E$  ceros
    - ★ Ceros en todas las  $k$  entradas para  $K_E$  instantes discretos
    - ★ Estado inicial:  $\psi[0] = \psi_0 = [0, 0, \dots, 0]$
    - ★ Estado final:  $\psi[L + K_E] = \psi_0 = [0, 0, \dots, 0]$
- Número de transiciones sobre la rejilla
  - $L + K_E$  transiciones
- Longitud de bits codificados para  $k \times L$  bits de información
  - $\underbrace{n \times L}_{\text{bits info}} + \underbrace{n \times K_E}_{\text{bits cabecera}} = (L + K_E)n$

## Secuencia de bits : camino a través de la rejilla

- Convolucional F :  $k = 1, n = 2, K_E = 2$ 
  - Cabecera de  $k \times K_E$  ceros:  $00 \rightarrow \psi[0] = \psi[L + K_E] = \psi_0$
- $L = 5$ , bloque de  $k \times L = 5$  bits:  $2^{k \times L} = 2^5 = 32$  caminos
  - Ejemplo:  $B_b[m] = 11001$



- Secuencia codificada:  $n \times (L + K_E) = 14$  bits

$$C[m'] = 11\ 10\ 10\ 11\ 11\ 01\ 11$$

## Decodificación - Algoritmo de Viterbi

- Recuperación de la secuencia más verosímil
- Estados inicial/final
  - ▶ Cabecera de referencia (habitualmente ceros “*bit flushing*”)
- Salida dura (observación: bits decididos  $R[m]$ )
  - ▶ Solución: secuencia codificada  $C[m]$  a mínima distancia de Hamming de la observación
    - ★ Métrica de rama en la transición  $\psi[\ell] \rightarrow \psi[\ell + 1]$ :

$$d^H \left( \left[ R^{(0)}[\ell], R^{(1)}[\ell], \dots, R^{(n-1)}[\ell] \right], \left[ C^{(0)}[\ell], C^{(1)}[\ell], \dots, C^{(n-1)}[\ell] \right] \right)$$

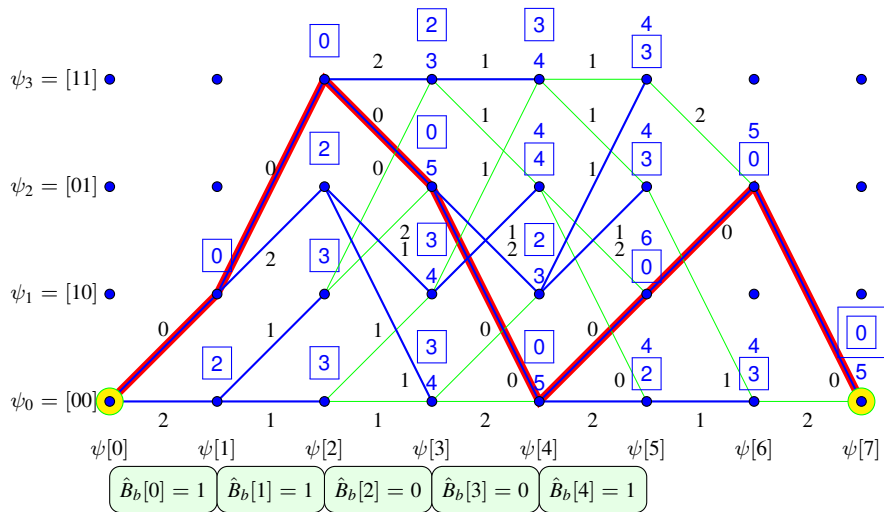
Distancia de Hamming entre observación y bits codificados

- Salida blanda (observación: secuencia  $q[\ell]$ )
  - ▶ Solución: secuencia cuyos símbolos asociados están a la menor distancia euclídea de la observación
    - ★ Métrica de rama:  $|q[\ell] - A_i[\ell]|^2$
  - ▶ Hay que tener en cuenta la constelación y asignación binaria para hacer la conversión de las etiquetas de la rejilla básica a símbolos de la constelación ( $A_i[\ell]$ )
  - ▶ Mejores prestaciones con salida blanda

# Decodificación con salida dura (Conv. F)

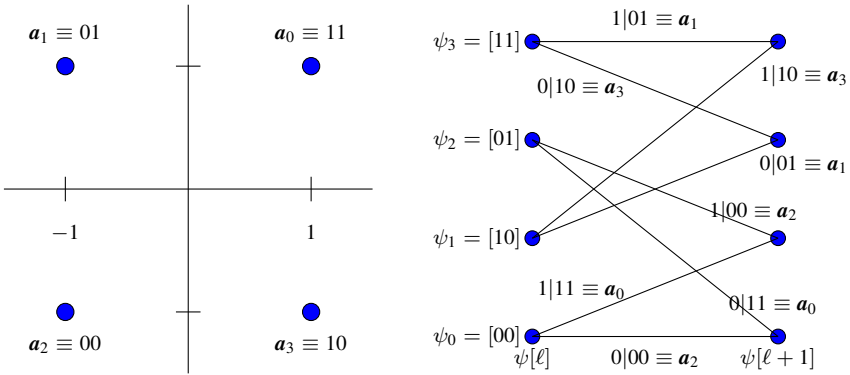
- Secuencia recibida

$$R[m'] = 11 \ 10 \ 10 \ 11 \ 11 \ 01 \ 11$$



## Decodificación con salida blanda - Métrica (Conv. F)

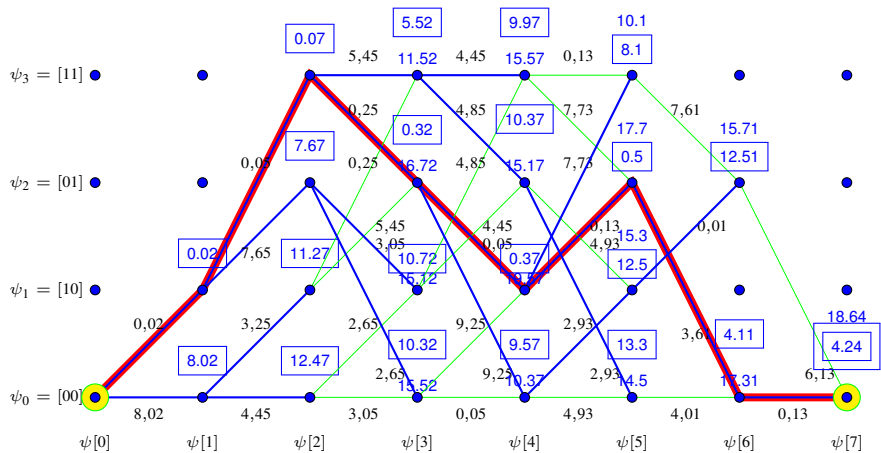
- Dependencia de la constelación y asignación binaria
- Ejemplo 4-QAM



# Decodificación con salida blanda - Ejemplo

- Secuencia recibida

$$q[m] = \begin{bmatrix} +1,1 \\ +0,9 \end{bmatrix} \begin{bmatrix} +1,1 \\ -0,8 \end{bmatrix} \begin{bmatrix} +0,7 \\ -0,6 \end{bmatrix} \begin{bmatrix} -1,2 \\ -1,1 \end{bmatrix} \begin{bmatrix} -0,7 \\ +1,2 \end{bmatrix} \begin{bmatrix} -0,9 \\ +1,0 \end{bmatrix} \begin{bmatrix} +0,8 \\ +0,7 \end{bmatrix}$$



$$\hat{B}_b[0] = 1 \quad \hat{B}_b[1] = 1 \quad \hat{B}_b[2] = 0 \quad \hat{B}_b[3] = 1 \quad \hat{B}_b[4] = 0$$

## Prestaciones

- Salida dura

$$P_e \approx c \sum_{e=t+1}^{n_z} \binom{n_z}{e} \varepsilon^e (1-\varepsilon)^{n_z-e}$$

- ▶  $D_{min}^H$ : mínima distancia de Hamming entre salidas para secuencias distintas
- ▶  $z$ : longitud del evento erróneo de distancia mínima
- ▶  $t = \left\lfloor \frac{D_{min}^H - 1}{2} \right\rfloor$  (capacidad de corrección sobre  $n_z$  bits)
- ▶  $\varepsilon$ : probabilidad de error de bit del sistema (BER)

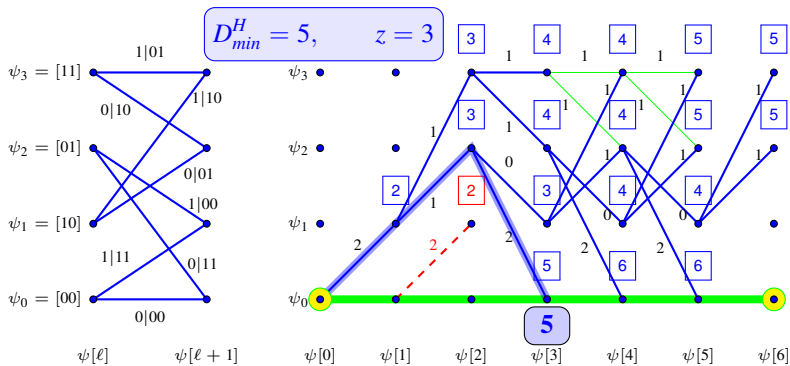
- Salida blanda

$$P_e \approx c Q \left( \frac{D_{min}^E}{2\sqrt{N_0/2}} \right)$$

- ▶  $D_{min}^E$ : mínima distancia euclídea entre símbolos transmitidos para secuencias distintas

# Cálculo de $D_{min}^H$

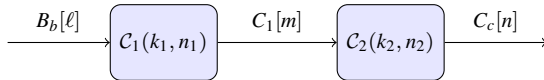
- Comparación con la secuencia de todo ceros
  - Métrica de rama: número de unos en los  $n$  bits codificados
- Puede usarse Viterbi para calcular distancias sobre sucesos erróneos



# Códigos concatenados

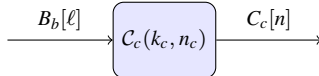
- Un código complejo puede en ocasiones obtenerse mediante la concatenación de dos códigos más simples
  - ▶ Concatenación en serie de dos códigos
  - ▶ Código entrada (interno)  $\mathcal{C}_1(k_1, n_1)$ , tasa  $R_1 = k_1/n_1$
  - ▶ Código salida (externo)  $\mathcal{C}_2(k_2, n_2)$ , tasa  $R_2 = k_2/n_2$
  - ▶ Tasa del código concatenado

$$R_c = \frac{k_1 k_2}{n_1 n_2} = R_1 \times R_2$$



- Relación de tamaños más habituales

- ▶ Caso  $n_1/k_2 = c \in \mathbb{Z}$ 
  - ★ En este caso hay un código equivalente  $\mathcal{C}_c(k_1, c n_2)$
- ▶ Caso  $k_2/n_1 = c \in \mathbb{Z}$ 
  - ★ En este caso hay un código equivalente  $\mathcal{C}_c(c k_1, n_2)$



## Ejemplo con códigos bloque

- Códigos  $\mathcal{C}_1(2, 3), \mathcal{C}_2(3, 6)$

$$\mathbf{G}_1 = \begin{bmatrix} 101 \\ 011 \end{bmatrix} \equiv \begin{array}{|c|c|c|} \hline i & \mathbf{b}_i & \mathbf{c}_i \\ \hline 0 & 00 & 000 \\ 1 & 01 & 011 \\ 2 & 10 & 101 \\ 3 & 11 & 110 \\ \hline \end{array}$$

$$\mathbf{G}_2 = \begin{bmatrix} 100011 \\ 010101 \\ 001111 \end{bmatrix} \equiv$$

$i$	$\mathbf{b}_i$	$\mathbf{c}_i$
0	000	000000
1	001	001111
2	010	010101
3	011	011010
4	100	100011
5	101	101100
6	110	110110
7	111	111001

- Código concatenado  $\mathcal{C}_c(2, 6) = \mathcal{C}_1(2, 3) - \mathcal{C}_2(3, 6)$

$$\begin{array}{|c|c|c|} \hline i & \mathbf{b}_i & \mathbf{c}_i \\ \hline 0 & 00 & 000000 \\ 1 & 01 & 011010 \\ 2 & 10 & 101100 \\ 3 & 11 & 110110 \\ \hline \end{array} \equiv \mathbf{G}_c = \begin{bmatrix} 101100 \\ 011010 \end{bmatrix}$$

$$\mathbf{G}_c = \mathbf{G}_1 \times \mathbf{G}_2, \text{ ya que } k_2 = n_1$$

## Otro ejemplo con códigos bloque

- Código concatenado  $\mathcal{C}_c(3, 12) = \mathcal{C}_1(3, 6) - \mathcal{C}_2(3, 6)$

$$\mathbf{G}_1 = \mathbf{G}_2 = \begin{bmatrix} 100011 \\ 010101 \\ 001111 \end{bmatrix} \equiv$$

$i$	$\mathbf{b}_i$	$\mathbf{c}_i$
0	000	000000
1	001	001111
2	010	010101
3	011	011010
4	100	100011
5	101	101100
6	110	110110
7	111	111001

$i$	$\mathbf{b}_i$	$\mathbf{c}_{1,i}$	$\mathbf{c}_{2,i}$	$\mathbf{c}_{1,i}$	$\mathbf{c}_{2,i}$
0	000	000	000	000000	000000
1	001	001	111	001111	111001
2	010	010	101	010101	101100
3	011	011	010	011010	010101
4	100	100	011	100011	011010
5	101	101	100	101100	100011
6	110	110	110	110110	110110
7	111	111	001	111001	001111

$$\equiv \mathbf{G}_c = \begin{bmatrix} 100011011010 \\ 010101101100 \\ 001111111001 \end{bmatrix}$$

## Otro ejemplo con códigos bloque (II)

- Código concatenado  $\mathcal{C}_c(3, 12) = \mathcal{C}_1(3, 6) - \mathcal{C}_2(3, 6)$

$i$	$\mathbf{b}_i$	$\mathbf{c}_i$
0	000	000000000000
1	001	001111111001
2	010	010101101100
3	011	011010010101
4	100	100011011010
5	101	101100100011
6	110	110110110110
7	111	111001001111

$$\equiv \mathbf{G}_c = \begin{bmatrix} 100011011010 \\ 010101101100 \\ 001111111001 \end{bmatrix}$$

# Ejemplo con códigos convolucionales

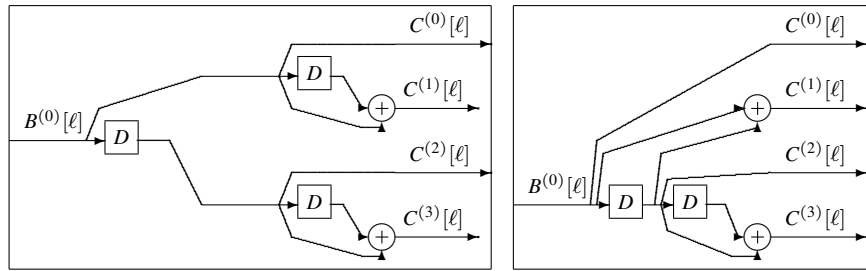
- Códigos  $\mathcal{C}_1(1, 2)$ ,  $\mathcal{C}_2(2, 4)$

$$\mathbf{G}_1(D) = [1, D], \quad \mathbf{G}_2(D) = \begin{bmatrix} 1, & 1+D, & 0, & 0 \\ 0, & 0, & 1, & 1+D \end{bmatrix}$$

- ▶ El código  $\mathcal{C}_2$  se implementa con dos códigos  $\mathbf{G}'_2 = [1, 1+D]$  en paralelo

- Código concatenado  $\mathcal{C}_c(1, 4) = \mathcal{C}_1(1, 2) - \mathcal{C}_2(2, 4)$

$$\mathbf{G}_c = [1, \quad 1+D, \quad D, \quad D+D^2]$$

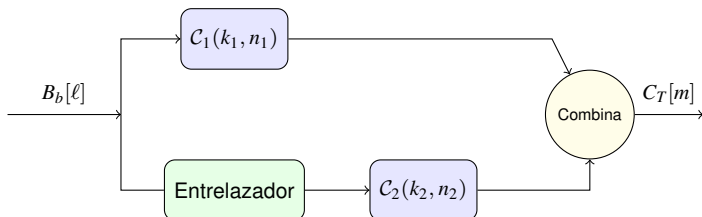


# Turbo códigos

- Concatenación de códigos utilizando entrelazadores



Concatenación Serie



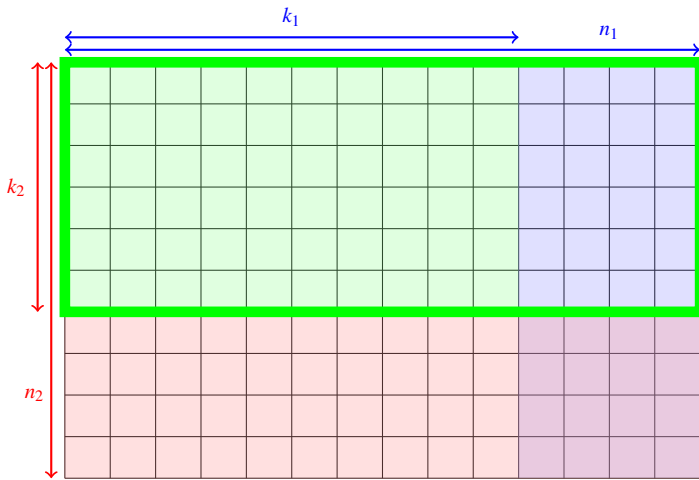
Concatenación Paralelo

- ▶ Codificadores
  - ★ Códigos convolucionales sistemáticos y recursivos (RSC)
- ▶ Entrelazador: reordena los bits
  - ★ Errores de un codificador en distintas palabras código del otro codificador
  - ★ Determina las prestaciones (se usan entrelazadores pseudo-aleatorios)

# Entrelazador - Ejemplo concatenación serie ( $k_2 \times n_1$ )

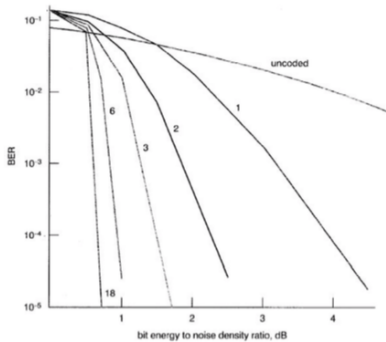
- Entrelazador bloque

- ▶ Entrada de bits escribiendo por filas
- ▶ Salida de bits leyendo por columnas



# Decodificación iterativa

- Decodificación iterativa (algoritmo BCJR)
  - ▶ Cada decodificador proporciona su salida blanda
    - ★ LLR: Log-Likelihood Ratio
  - ▶ Intercambio de esta información entre decodificadores
- Prestaciones: cercanas al límite de Shannon!!!



# Códigos LDPC

## LDPC: *Low Density Parity Check*

- Códigos bloque lineales
  - ▶ Códigos de gran tamaño
    - ★ Ejemplo:  $\mathcal{C}(5000, 10000)$
  - ▶ Matriz de chequeo de paridad dispersa (pocos 1s)
- Representación mediante un grafo bipartido (grafo de Tanner)
  - ▶ Dos tipos de nodos
    - ★ Nodos de bits
    - ★ Nodos de chequeo
  - ▶ Aplicación del principio Turbo: decodificación iterativa
    - ★ Salidas blandas en cada iteración
    - ★ Algoritmos iterativos de tipo “*belief propagation*” (BCJR, MAP, SOVA)
- Excelentes prestaciones
  - ▶ Estado del arte actual, junto con los turbo códigos